



Laboratorium EMVO Sp. J. Urbański, Pawelak
ul. Jasna 1
00-013 Warszawa

tel. +48 22 780 29 64

e-mail: laboratorium@emvo.pl



AB 1630

Sprawozdanie z pomiarów pól elektromagnetycznych - środowisko nr 51/08/OŚ/2022 – P4



| | | |
|--------------------------|--|---------------------------------|
| Nr i nazwa stacji | NID1101B | |
| Adres | Magdaleniec, dz. nr 41, pow. nidzicki, woj. warmińsko-mazurskie | |
| Opracowanie | Martyna Karczmarczyk | Specjalista ds. pomiarów |
| Autoryzacja | Andrzej Urbański | Kierownik Laboratorium |
| Podpis | | |
| Data | 2022-08-30 | |

Spis treści

| | |
|---|---|
| 1. Informacje ogólne..... | 3 |
| 2. Podstawa prawna. | 3 |
| 3. Opis pomiarów..... | 3 |
| 4. Zróżnicowanie dopuszczalne poziomy pól elektromagnetycznych..... | 5 |
| 5. Charakterystyka źródeł PEM..... | 5 |
| 6. Wyniki pomiarów..... | 5 |
| 7. Stwierdzenie zgodności | 6 |
| 8. Oświadczenie..... | 7 |
| 9. Spis załączników. | 8 |

1. Informacje ogólne.

| | |
|---|--|
| Zleceniodawca | P4 sp. z o.o., ul. Wynałazek 1, 02-677 Warszawa osoba udzielająca informacji – Magdalena Sokół |
| Istotne informacje dostarczone przez klienta | komplet informacji niezbędnych do wykonania pomiarów i opracowania sprawozdania |
| Dane otrzymane od klienta mogące mieć wpływ na ważność wyników | Dane anten sektorowych, dane anten radioliniowych, parametry pracy instalacji, ustawienie pochylenia anten |
| Prowadzący instalację | P4 sp. z o.o., ul. Wynałazek 1, 02-677 Warszawa |
| Lokalizacja obiektu | Magdaleniec, dz. nr 41, pow. nidzicki, woj. warmińsko-mazurskie |
| Miejsce instalacji anten | Wieża kratowa |
| Miejsce instalacji urządzeń | Outdoor |
| Osoby wykonujące pomiar | Roman Murawski |
| Data wykonania pomiaru | 30.08.2022 |
| Temperatura na początku pomiaru [°C] | 17,0 |
| Temperatura na koniec pomiaru [°C] | 17,0 |
| Warunki atmosferyczne | Brak opadów |
| Wilgotność na początku pomiaru [%] | 74,8 |
| Wilgotność na koniec pomiaru [%] | 74,8 |
| Godzina na początku pomiaru | 11:26 |
| Godzina na koniec pomiaru | 12:44 |
| Inne źródła pól elektromagnetycznych oznaczone na załączniku graficznym | Nie występują |
| Parametry pracy instalacji | Tryb eksploatacyjny |

2. Podstawa prawna.

2.1 Normy i rozporządzenia:

- Rozporządzeniem Ministra Klimatu z dnia 17 lutego 2020 r. w sprawie sposobów sprawdzania dotrzymania dopuszczalnych poziomów pól elektromagnetycznych w środowisku (Dz.U. 2020 poz. 258)
- Rozporządzenie Ministra Zdrowia z dnia 17 grudnia 2019 r. w sprawie dopuszczalnych poziomów pól elektromagnetycznych w środowisku (Dz.U. 2019 poz. 2448)
- Obwieszczenie Marszałka Sejmu Rzeczypospolitej Polskiej z dnia 19 lipca 2019 r. w sprawie ogłoszenia jednolitego tekstu ustawy - Prawo ochrony środowiska (Dz.U. 2019 poz. 1396)
- Rozporządzenie Ministra Klimatu i Środowiska z dnia 6 maja 2022 r. zmieniające rozporządzenie w sprawie sposobów sprawdzania dotrzymywania dopuszczalnych poziomów pól elektromagnetycznych w środowisku (Dz.U. 2022 poz. 1121).

„Bez pisemnej zgody Laboratorium niniejsze sprawozdanie nie może być powielane inaczej, jak tylko w całości. Ponadto wyniki dotyczą tylko badanych obiektów przywołanych w niniejszym sprawozdaniu z badań”

3. Opis pomiarów

| | |
|--------------------------|--|
| Metodologia pomiarowa | Pomiary w oparciu o Rozporządzeniem Ministra Klimatu z dnia 17 lutego 2020 r. w sprawie sposobów sprawdzania dotrzymania dopuszczalnych poziomów pól elektromagnetycznych w środowisku (Dz.U. 2020 poz. 258) oraz Rozporządzenie Ministra Klimatu i Środowiska z dnia 6 maja 2022 r. zmieniające rozporządzenie w sprawie sposobów sprawdzania dotrzymywania dopuszczalnych poziomów pól elektromagnetycznych w środowisku (Dz.U. 2022 poz. 1121). |
| Cel badań | Określenie wartości natężenia pola elektrycznego w miejscach dostępnych dla ludności. |
| Opis zestawu pomiarowego | Miernik Narda NBM 550, Sonda EF-6092, o zakresie pomiarowym 0,7 V/m – 300V/m pracująca w paśmie 0,1 – 90 GHz, świadectwo wydane przez Laboratorium Wzorców i Metrologii Pola Elektromagnetycznego, Instytut Telekomunikacji, Teleinformatyki i Akustyki Politechniki Wrocławskiej. Świadectwo ważne do 10.06.2024 r. Miernik Narda NBM 550, Sonda EF-6092 pracująca w zakresie temperatury -10°C - +50°C oraz wilgotności 5% - 95% Niepewność rozszerzona wynosi 58,8% przy poziomie ufności 95% z uwzględnieniem współczynnika rozszerzenia k=2. |
| Wyposażenie pomocnicze | Termohigrometr Bestone, typ: GM1362-EN-00, nr identyfikacyjny 1222436, świadectwo wzorcowania z dn. 22.12.2015 r. wydane przez Laboratorium Pomiarowe "MUTECH". Przymiar wstęgowy STABILA, nr identyfikacyjny 5/WL/2016, świadectwo wzorcowania z dn. 06.09.2016 r. wydane przez Zespół Laboratoriów wzorcujących Okręgowego Urzędu Miar w Gdańsku. GPS Garmin 64s okresowo sprawdzany w punktach osnowy geodezyjnej klasy 3 na podstawie licencji punktu, zgodnie z procedurą sprawdzeń okresowych IS/PO-16-11/03. |
| Pomiary zostały wykonane | <ol style="list-style-type: none">1. na głównych i pomocniczych kierunkach pomiarowych, na kierunkach zbliżonych do azymutów anten oraz w dodatkowych pionach pomiarowych zgodnie z wymaganiami pkt 12, 13, 14 i 19 Rozporządzenia Ministra Klimatu z dnia 17 lutego 2020 r. (Dz. U. 2020, poz. 258) oraz Rozporządzenia Ministra Klimatu i Środowiska z dnia 6 maja 2022 r. zmieniającego rozporządzenie w sprawie sposobów sprawdzania dotrzymywania dopuszczalnych poziomów pól elektromagnetycznych w środowisku (Dz.U. 2022 poz. 1121).2. na obszarze pomiarowym, dla którego, na podstawie uprzednio przeprowadzonych obliczeń stwierdzono w miejscach dostępnych dla ludności występowanie pól elektromagnetycznych o najwyższym poziomie, które pochodzą z badanej instalacji zgodnie z wymaganiami pkt 5 ppkt 2 oraz pkt 13 ppkt 1 Rozporządzenia Ministra Klimatu z dnia 17 lutego 2020 r. w sprawie sposobów sprawdzania dotrzymania dopuszczalnych poziomów pól elektromagnetycznych w środowisku (Dz. U. 2020, poz. 258) oraz Rozporządzenia Ministra Klimatu i Środowiska z dnia 6 maja 2022 r. zmieniającego rozporządzenie w sprawie sposobów sprawdzania dotrzymywania dopuszczalnych poziomów pól elektromagnetycznych w środowisku (Dz.U. 2022 poz. 1121). Wyniki obliczeń nie uwzględniały parametrów pracy instalacji innych operatorów występujących na obiekcie bądź w obszarze pomiarowym.3. w miejscach dostępnych dla ludności.4. miejsca niedostępne podczas wykonywania pomiarów wskazane zostały w pkt 6 (tabeli wyniki pomiarów). |

Szczególne warunki podczas wykonywania pomiarów

Pomiary wykonane zostały podczas obowiązywania w kraju stanu zagrożenia epidemicznego, zgodnie z art. 122a ust. 1b Ustawy z dnia 27 kwietnia 2001 r. – Prawo ochrony środowiska (Dz. U. z 2019 r. poz. 1396, z późn. zm.9)).

Warunki pracy urządzeń nadawczych

Tryb pracy eksploatacyjny.

4. Zróżnicowanie dopuszczalne poziomy pól elektromagnetycznych.

Zakresy znajdują się w Dzienniku Ustaw z dnia 17 grudnia 2019 r. przedstawione są w tabeli nr 2 (Dz. U. z 2019r. poz. 2448).

| Parametr fizyczny | Składowa elektryczna E (V/m) | Składowa magnetyczna H (A/m) | Gęstość mocy S (W/m ²) |
|---|------------------------------|------------------------------|------------------------------------|
| Zakres Częstotliwości pola elektromagnetycznego | | | |
| od 400 MHz do 2000 MHz | $1,375 \times f^{0,5}$ | $0,0037 \times f^{0,5}$ | f / 200 |
| od 2 GHz do 300 GHz | 61 | 0,16 | 10 |

5. Charakterystyka źródeł PEM.

Zgodnie z informacją otrzymaną od Klienta pomiary zostały wykonane przy ustawieniach pochyleń anten zgodnych z pkt. 13, ppkt 2 Rozporządzenia Ministra Klimatu z dnia 17 lutego 2020 roku.

Tabela 1. Anteny sektorowe - dane otrzymane od klienta

| Charakterystyka promieniowania | | kierunkowa | | | | | | | | | |
|---------------------------------|--|-------------------|------------------|------------------|------------------|------------------|------------------|------------------|------------------|------------------|------------------|
| Rzeczywisty czas pracy [h/dobę] | | 24 | | | | | | | | | |
| Rodzaj wytwarzanego pola | | stacjonarne | | | | | | | | | |
| L | Wyszczególnienie | sektor 1 | | | | | sektor 2 | | | | |
| p | | | | | | | | | | | |
| I | | | | | | | | | | | |
| Nadajnik stacji bazowej: | | | | | | | | | | | |
| 1 | Typ / Producent | DBS / SRAN Huawei | | | | | | | | | |
| 2 | Częstotliwość (pasmo) MHz | 2100 | 800 | 800 | 1800 | 900 | 2100 | 800 | 800 | 1800 | 900 |
| 3 | Maksymalna moc nadawana na sektor [dBm] | 50,79 | 49,03 | 49,03 | 50,79 | 47,78 | 50,79 | 49,03 | 49,03 | 50,79 | 47,78 |
| II | | | | | | | | | | | |
| Obciążenie: | | | | | | | | | | | |
| 1 | Typ anteny | Huawei A264521R1 | Huawei A704517R0 | Huawei A704517R0 | Huawei ADU4518R8 | Huawei A264521R1 | Huawei A704517R0 | Huawei A704517R0 | Huawei A704517R0 | Huawei ADU4518R8 | Huawei ADU4518R8 |
| 2 | Producent anteny | Huawei | Huawei | Huawei | Huawei | Huawei | Huawei | Huawei | Huawei | Huawei | Huawei |
| 3 | Ilość anten | 1 | 1 | 1 | 1 | 1 | 1 | 1 | 1 | 1 | 1 |
| 4 | Azymut | 90 | | | | | 210 | | | | |
| 5 | Zakres kątów pochyleń anten [°] | 0-6 | 0-10 | 0-10 | 2-12 | 0-10 | 0-6 | 0-10 | 0-10 | 2-12 | 0-10 |
| 6 | Średnie pochylenie anten (ustawione do pomiarów PEM) [°] | 3,0 | 3,0 | 3,0 | 3,0 | 3,0 | 3,0 | 3,0 | 3,0 | 3,0 | 3,0 |
| 7 | Wysokość zainst. n.p.t. [m] | 53,30 | | | | | 53,30 | | | | |
| 8 | EIRP [W] | 13122 | 3715 | 3715 | 9344 | 13122 | 3715 | 3715 | 3715 | 9344 | 9344 |

| | | | | | | |
|---------------------------------|--|-------------------|------------------|------------------|------------------|-------|
| Charakterystyka promieniowania | | kierunkowa | | | | |
| Rzeczywisty czas pracy [h/dobę] | | 24 | | | | |
| Rodzaj wytwarzanego pola | | stacjonarne | | | | |
| Lp | Wyszczególnienie | sektor 3 | | | | |
| I | Nadajnik stacji bazowej: | | | | | |
| 1 | Typ / Producent | DBS / SRAN Huawei | | | | |
| 2 | Częstotliwość (pasmo) MHz | 2100 | 800 | 800 | 1800 | 900 |
| 3 | Maksymalna moc nadawana na sektor [dBm] | 50,79 | 49,03 | 49,03 | 50,79 | 47,78 |
| II | Obciążenie: | | | | | |
| 1 | Typ anteny | Huawei A264521R1 | Huawei A704517R0 | Huawei A704517R0 | Huawei ADU4518R8 | |
| 2 | Producent anteny | Huawei | Huawei | Huawei | Huawei | |
| 3 | Ilość anten | 1 | 1 | 1 | 1 | |
| 4 | Azymut | 315 | | | | |
| 5 | Zakres kątów pochylecia anten [°] | 0-6 | 0-10 | 0-10 | 2-12 | 0-10 |
| 6 | Średnie pochylecie anten (ustawione do pomiarów PEM) [°] | 3,0 | 3,0 | 3,0 | 3,0 | 3,0 |
| 7 | Wysokość zainst. n.p.t. [m] | 53,30 | | | | |
| 8 | EIRP [W] | 13122 | 3715 | 3715 | 9344 | |

Tabela 2. Anteny radioliniowe- dane otrzymane od klienta

| | | | | | | | |
|---------------------------------|------------------|---------------------------|---------------------|------------------|---------------------|------------|------------------------|
| Charakterystyka promieniowania | | kierunkowa | | | | | |
| Rzeczywisty czas pracy [h/dobę] | | 24 | | | | | |
| Rodzaj wytwarzanego pola | | stacjonarne | | | | | |
| Lp | Linia radiowa | | | Antena | | | |
| | typ/producent | częstotliwość pracy [GHz] | moc wyjściowa [dBm] | typ/producent | średnica anteny [m] | azymut [°] | wysokość zainstal. [m] |
| 1 | OPTIX RTN/HUAWEI | 80 | 18 | A80S06/Huawei | 0,6 | 217 | 49,70 |
| 2 | OPTIX RTN/HUAWEI | 80/23 | 18/25 | A23S80S06/Huawei | 0,6 | 249 | 49,70 |

6. Wyniki pomiarów.

Wyniki pomiarów pól elektromagnetycznych dla celów ochrony środowiska przedstawia poniższa tabela. Piony pomiarowe zostały przedstawione w zał. 2.

| Nr PP | Pole-E [V/m] | Pole-E, +U [V/m] | Pole-H [A/m] | Pole-H +U [A/m] | Wys. pomiaru [m] | Opis pionu | Uwagi | WM _E | WM _H |
|-------|--------------|------------------|--------------|-----------------|------------------|--------------------------------|--|-----------------|-----------------|
| 1 | 0,7* | 1,27 | 0,002 | 0,003 | 0,3-2,0 | N:53°20'58.3" E:20°31'34.9" | otoczenie stacji bazowej - 100m wzdłuż gł. osi promieniowania - GKP | 0,045 | 0,046 |
| 2 | 0,7* | 1,27 | 0,002 | 0,003 | 0,3-2,0 | N:53°20'58.2" E:20°31'39.5" | otoczenie stacji bazowej - 200m wzdłuż gł. osi promieniowania - GKP | 0,045 | 0,046 |
| 3 | 0,7* | 1,27 | 0,002 | 0,003 | 0,3-2,0 | N:53°20'57.9" E:20°31'44.6" | otoczenie stacji bazowej - 300m wzdłuż gł. osi promieniowania - GKP | 0,045 | 0,046 |
| 4 | 0,7* | 1,27 | 0,002 | 0,003 | 0,3-2,0 | N:53°20'58.2" E:20°31'50.2" | otoczenie stacji bazowej - 400m wzdłuż gł. osi promieniowania- GKP | 0,045 | 0,046 |
| 5 | 0,7* | 1,27 | 0,002 | 0,003 | 0,3-2,0 | N:53°20'58.3" E:20°31'55.8" | otoczenie stacji bazowej - 500m wzdłuż gł. osi promieniowania - GKP | 0,045 | 0,046 |
| 6 | 0,7* | 1,27 | 0,002 | 0,003 | 0,3-2,0 | N:53°20'58.5" E:20°31'58.1" | otoczenie stacji bazowej - 535m wzdłuż gł. osi promieniowania - GKP | 0,045 | 0,046 |
| 7 | 0,7* | 1,27 | 0,002 | 0,003 | 0,3-2,0 | N:53°20'55.4" E:20°31'26.1" | otoczenie stacji bazowej - 100m wzdłuż gł. osi promieniowania - GKP | 0,045 | 0,046 |
| 8 | 0,7* | 1,27 | 0,002 | 0,003 | 0,3-2,0 | N:53°20'52.5" E:20°31'23.1" | otoczenie stacji bazowej - 200m wzdłuż gł. osi promieniowania - GKP | 0,045 | 0,046 |

„Bez pisemnej zgody Laboratorium niniejsze sprawozdanie nie może być powielane inaczej, jak tylko w całości. Ponadto wyniki dotyczą tylko badanych obiektów przywołanych w niniejszym sprawozdaniu z badań”

| | | | | | | | | | |
|----|------|------|-------|-------|---------|--------------------------------|--|-------|-------|
| 9 | 0,7* | 1,27 | 0,002 | 0,003 | 0,3-2,0 | N:53°20'49.9" E:20°31'20.8" | otoczenie stacji bazowej - 300m wzdłuż gł. osi promieniowania - GKP | 0,045 | 0,046 |
| 10 | 0,9 | 1,43 | 0,002 | 0,004 | 0,3-2,0 | N:53°20'47.2" E:20°31'17.9" | otoczenie stacji bazowej - 400m wzdłuż gł. osi promieniowania- GKP | 0,051 | 0,052 |
| 11 | 1,4 | 2,22 | 0,004 | 0,006 | 0,3-2,0 | N:53°20'44.5" E:20°31'14.8" | otoczenie stacji bazowej - 500m wzdłuż gł. osi promieniowania - GKP | 0,079 | 0,081 |
| 12 | 1,2 | 1,91 | 0,003 | 0,005 | 0,3-2,0 | N:53°20'43.2" E:20°31'13.8" | otoczenie stacji bazowej - 535m wzdłuż gł. osi promieniowania - GKP | 0,068 | 0,069 |
| 13 | 0,7* | 1,27 | 0,002 | 0,003 | 0,3-2,0 | N:53°21'00.6" E:20°31'25.3" | otoczenie stacji bazowej - 100m wzdłuż gł. osi promieniowania - GKP | 0,045 | 0,046 |
| 14 | 0,7* | 1,27 | 0,002 | 0,003 | 0,3-2,0 | N:53°21'03.0" E:20°31'21.2" | otoczenie stacji bazowej - 200m wzdłuż gł. osi promieniowania - GKP | 0,045 | 0,046 |
| 15 | 0,7* | 1,27 | 0,002 | 0,003 | 0,3-2,0 | N:53°21'05.5" E:20°31'17.5" | otoczenie stacji bazowej - 300m wzdłuż gł. osi promieniowania - GKP | 0,045 | 0,046 |
| 16 | 0,8 | 1,27 | 0,002 | 0,003 | 0,3-2,0 | N:53°21'07.7" E:20°31'13.4" | otoczenie stacji bazowej - 400m wzdłuż gł. osi promieniowania- GKP | 0,045 | 0,046 |
| 17 | 1,3 | 2,06 | 0,003 | 0,005 | 0,3-2,0 | N:53°21'09.9" E:20°31'10.1" | otoczenie stacji bazowej - 500m wzdłuż gł. osi promieniowania - GKP | 0,074 | 0,075 |
| 18 | 1,2 | 1,91 | 0,003 | 0,005 | 0,3-2,0 | N:53°21'10.8" E:20°31'08.7" | otoczenie stacji bazowej - 535m wzdłuż gł. osi promieniowania - GKP | 0,068 | 0,069 |
| 19 | 0,7* | 1,27 | 0,002 | 0,003 | 0,3-2,0 | N:53°20'56.9" E:20°31'27.1" | otoczenie stacji bazowej - 50m wzdłuż gł. osi promieniowania - GKP | 0,045 | 0,046 |
| 20 | 0,7* | 1,27 | 0,002 | 0,003 | 0,3-2,0 | N:53°20'56.4" E:20°31'23.3" | otoczenie stacji bazowej - 100m wzdłuż gł. osi promieniowania - GKP | 0,045 | 0,046 |
| 21 | 0,7* | 1,27 | 0,002 | 0,003 | 0,3-2,0 | N:53°20'56.3" E:20°31'34.0" | otoczenie stacji bazowej -PKP | 0,045 | 0,046 |
| 22 | 0,7* | 1,27 | 0,002 | 0,003 | 0,3-2,0 | N:53°20'56.7" E:20°31'30.2" | otoczenie stacji bazowej -PKP | 0,045 | 0,046 |
| 23 | 0,7* | 1,27 | 0,002 | 0,003 | 0,3-2,0 | N:53°20'54.2" E:20°31'28.6" | otoczenie stacji bazowej -PKP | 0,045 | 0,046 |
| 24 | 0,7* | 1,27 | 0,002 | 0,003 | 0,3-2,0 | N:53°20'58.9" E:20°31'23.5" | otoczenie stacji bazowej -PKP | 0,045 | 0,046 |
| 25 | 0,7* | 1,27 | 0,002 | 0,003 | 0,3-2,0 | N:53°21'02.2" E:20°31'26.1" | otoczenie stacji bazowej -PKP | 0,045 | 0,046 |
| 26 | 0,7* | 1,27 | 0,002 | 0,003 | 0,3-2,0 | N:53°21'00.1" E:20°31'29.6" | otoczenie stacji bazowej -PKP | 0,045 | 0,046 |
| 27 | 0,7* | 1,27 | 0,002 | 0,003 | 0,3-2,0 | N:53°20'59.6" E:20°31'35.7" | otoczenie stacji bazowej -PKP | 0,045 | 0,046 |

Wynik pomiaru pole - E [V/m] - maksymalna wartość chwilowa zmierzona w danym pionie pomiarowym (uśredniona na podstawie punktu 11 Rozporządzenia Ministra Zdrowia).

Przyjęto najniższą dopuszczalną wartość składowej elektrycznej pola dla objętego pomiarami zakresu częstotliwości min(ME_{gr})= 28 V/m oraz składowej magnetycznej min(MH_{gr})= 0,073 A/m.

* - wartość zmierzona poniżej zakresu akredytacji. Do obliczeń przyjęto wartość zgodną z dolną granicą akredytowanego zakresu pomiarowego metody.

GKP - główne kierunki pomiarowe

PKP - pomocnicze kierunki pomiarowe

DPP - dodatkowe punkty pomiarowe

PP - pion pomiarowy

U - niepewność pomiarowa rozszerzona, przy poziomie ufności 95%, z uwzględnieniem współczynnika rozszerzenia k=2

WM_E - wartość wskaźnikowa poziomu emisji pól elektromagnetycznych dla miejsc dostępnych dla ludności dla składowej elektrycznej pola

WM_H - wartość wskaźnikowa poziomu emisji pól elektromagnetycznych dla miejsc dostępnych dla ludności dla składowej magnetycznej pola

7. Stwierdzenie zgodności

Na podstawie wytycznych podanych w Rozporządzeniu Ministra Zdrowia z dnia 17 grudnia 2019 r. w sprawie dopuszczalnych poziomów pól elektromagnetycznych w środowisku (Dz.U. 2019 poz. 2448) oraz sposobów sprawdzania dotrzymania tych poziomów zgodnie z Rozporządzeniem Ministra Klimatu z dnia 17 lutego 2020 r. w sprawie sposobów sprawdzania dotrzymania dopuszczalnych poziomów pól elektromagnetycznych w środowisku (Dz.U. 2020 poz. 258) oraz Rozporządzeniem Ministra Klimatu i Środowiska z dnia 6 maja 2022 r. zmieniającego

rozporządzenie w sprawie sposobów sprawdzania dotrzymywania dopuszczalnych poziomów pól elektromagnetycznych w środowisku (Dz.U. 2022 poz. 1121), dotyczących źródła wymagań, które muszą być spełnione, w oparciu o zasadę podejmowania decyzji zgodną z pkt 26 Rozporządzenia Ministra Klimatu z dnia 17 lutego 2020 r. (Dz.U. 2020 poz. 258), na podstawie wyników pomiarów pól elektromagnetycznych wykonanych w dniu 30.08.2022 stwierdzono, iż w miejscach dostępnych dla ludności, dopuszczalne poziomy pól elektromagnetycznych w środowisku, określone w przepisach wydanych na podstawie art. 122 ust. 1 ustawy z dnia 27 kwietnia 2001 r. – Prawo ochrony środowiska, uznaje się za dotrzymane w obszarze pomiarowym, w którym w wyniku zastosowania sposobu sprawdzenia dotrzymania dopuszczalnych poziomów pól elektromagnetycznych w środowisku, udokumentowano, że żadna z wartości wskaźnikowych nie przekracza wartości 1.

8. Oświadczenie.

Wyniki badania odnoszą się wyłącznie do badanego obiektu.

Bez pisemnej zgody sprawozdanie nie może być powielane inaczej, jak tylko w całości.

Uwagi i zastrzeżenia przyjmowane są w formie pisemnej w ciągu 14 dni od daty otrzymania sprawozdania.

9. Spis załączników.

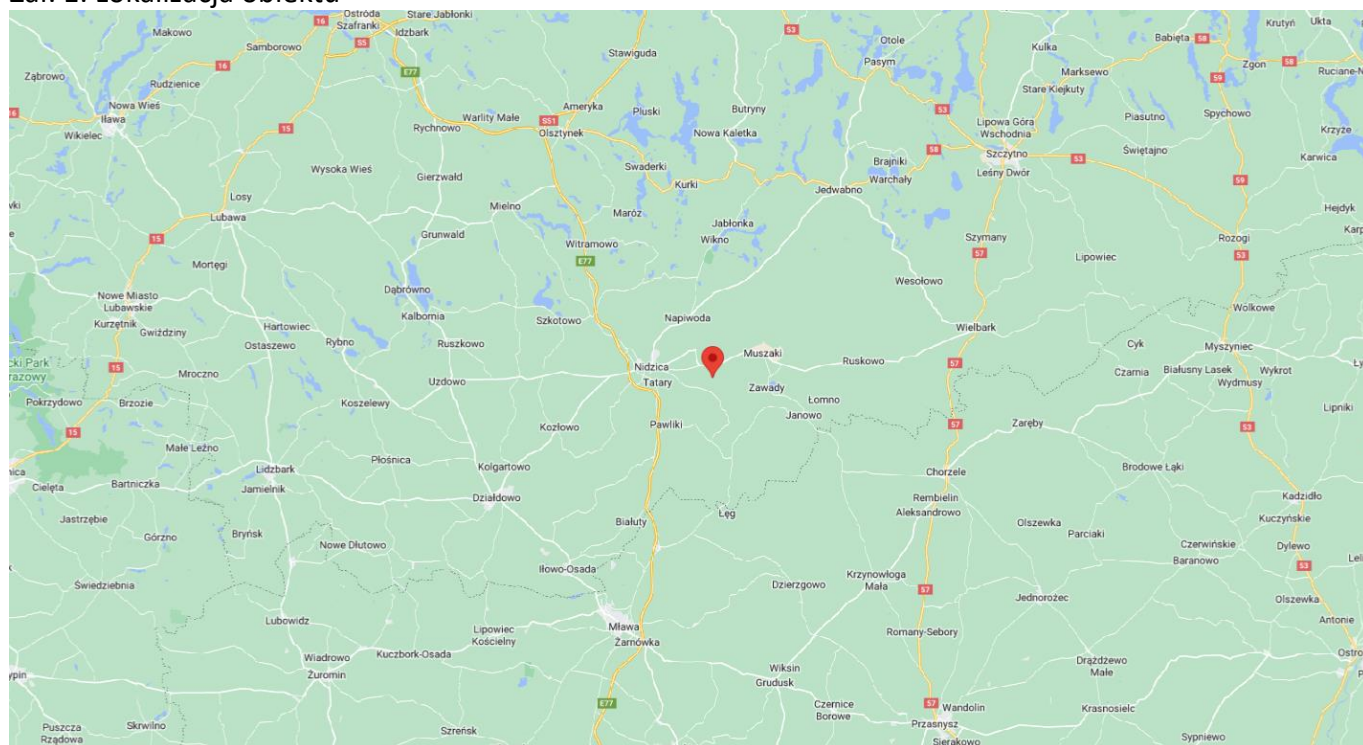
Zał. 1. Lokalizacja obiektu.

Zał. 2. Widok pionów pomiarowych

Zał. 3. Załączniki graficzne

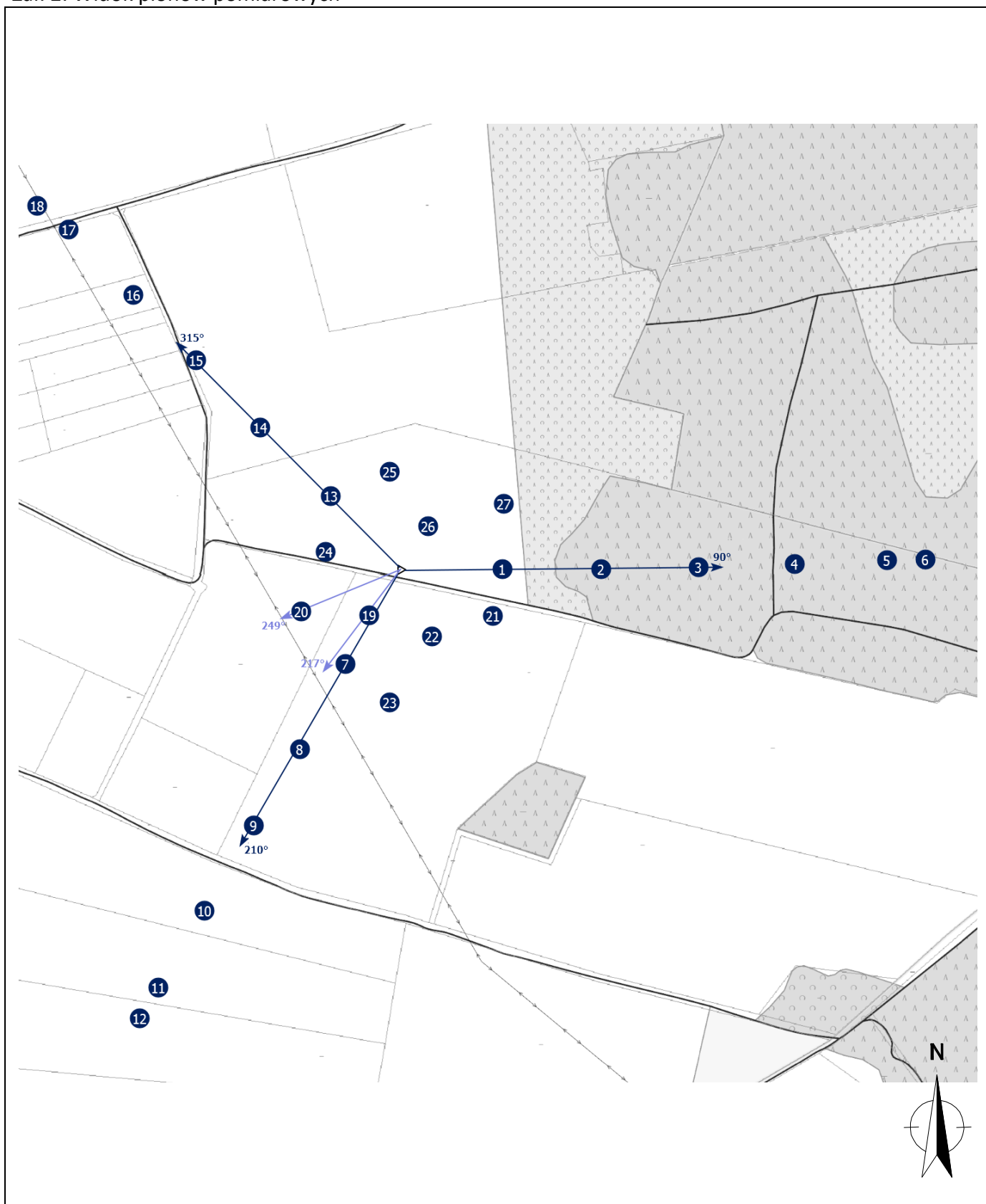
Koniec sprawozdania

Zał. 1. Lokalizacja obiektu




| Współrzędne geograficzne | |
|--------------------------|---------------|
| długość: | 20°31'29.28"E |
| szerokość: | 53°20'58.56"N |

Załącznik 2. Widok pionów pomiarowych





LEGENDA:

 inna instalacja radiokomunikacyjna

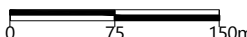
 brak dostępu

 pion pomiaru

 antena sektorowa

 antena radioliowa

Skala: 1:6250

 0 75 150m

Załącznik 3. Załączniki graficzne.

